



Laboratorium EMVO Sp. J. Urbański, Pawelak
ul. Jasna 1
00-013 Warszawa

tel. +48 22 780 29 64

e-mail: laboratorium@emvo.pl



AB 1630

Sprawozdanie z pomiarów pól elektromagnetycznych - środowisko nr 19/05/OŚ/2023-ELT



| | | |
|-------------------|---|--------------------------|
| Nr i nazwa stacji | BT42578_BYDGOSZCZ_SZUBIŃSKA | |
| Adres | Ul. Szubińska 4, dz. nr 2/4, obręb 0075, gm. Bydgoszcz; pow. Bydgoszcz, woj. kujawsko-pomorskie | |
| Opracowanie | Martyna Karczmarczyk | Specjalista ds. pomiarów |
| Autoryzacja | Andrzej Urbański | Kierownik Laboratorium |
| Podpis | | |
| Data | 2023-05-24 | |

Spis treści

| | |
|---|---|
| 1. Informacje ogólne..... | 3 |
| 2. Podstawa prawna. | 3 |
| 3. Opis pomiarów..... | 3 |
| 4. Zróżnicowanie dopuszczalne poziomy pól elektromagnetycznych..... | 4 |
| 5. Charakterystyka źródeł PEM..... | 5 |
| 6. Wyniki pomiarów..... | 5 |
| 7. Stwierdzenie zgodności | 5 |
| 8. Oświadczenie..... | 7 |
| 9. Spis załączników. | 7 |

1. Informacje ogólne.

| | |
|---|--|
| Zleceniodawca | Axians Networks Poland Sp. z o.o. ul. Annopol 4a, 03-236 Warszawa Osoba udzielająca informacji – Piotr Miliszkiewicz |
| Istotne informacje dostarczone przez klienta | komplet informacji niezbędnych do wykonania pomiarów i opracowania sprawozdania |
| Dane otrzymane od klienta mogące mieć wpływ na ważność wyników | Dane anten sektorowych, dane anten radioliniowych, parametry pracy instalacji, poprawka pomiarowa, ustawienie pochylenia anten |
| Prowadzący instalację | TOWERLINK POLAND SP. z.o.o. , ul. Kasprzaka 4, 01-211 Warszawa |
| Lokalizacja obiektu | Ul. Szubińska 4, dz. nr 2/4, obręb 0075, gm. Bydgoszcz; pow. Bydgoszcz, woj. kujawsko-pomorskie |
| Miejsce instalacji anten | Wieża kratowa |
| Miejsce instalacji urządzeń | Kontener |
| Osoby wykonujące pomiar | Jarosław Buząła |
| Data wykonania pomiaru | 24.05.2023 |
| Temperatura na początku pomiaru [°C] | 17,0 |
| Temperatura na koniec pomiaru [°C] | 17,0 |
| Warunki atmosferyczne | Brak opadów |
| Wilgotność na początku pomiaru [%] | 75,0 |
| Wilgotność na koniec pomiaru [%] | 75,0 |
| Godzina na początku pomiaru | 10:30 |
| Godzina na koniec pomiaru | 12:00 |
| Inne źródła pól elektromagnetycznych oznaczone na załączniku graficznym | Wstępują |
| Parametry pracy instalacji | Tryb eksploatacyjny |

2. Podstawa prawna.

2.1 Normy i rozporządzenia:

- Obwieszczenie Ministra Klimatu i Środowiska z dnia 21 listopada 2022 r. w sprawie ogłoszenia jednolitego tekstu rozporządzenia Ministra Klimatu w sprawie sposobów sprawdzania dotrzymania dopuszczalnych poziomów pól elektromagnetycznych w środowisku (Dz.U. 2022 poz. 2630)
- Rozporządzenie Ministra Zdrowia z dnia 17 grudnia 2019 r. w sprawie dopuszczalnych poziomów pól elektromagnetycznych w środowisku (Dz.U. 2019 poz. 2448)
- Obwieszczenie Marszałka Sejmu Rzeczypospolitej Polskiej z dnia 1 grudnia 2022 r. w sprawie ogłoszenia jednolitego tekstu ustawy - Prawo ochrony środowiska (Dz.U. 2022 poz. 2556).

3. Opis pomiarów

| | |
|---|---|
| Metodologia pomiarowa | Pomiary w oparciu o Rozporządzenie Ministra Klimatu z dnia 17 lutego 2020 r. w sprawie sposobów sprawdzania dotrzymania dopuszczalnych poziomów pól elektromagnetycznych w środowisku (Dz.U. 2022 poz. 2630). |
| Cel badań | Określenie wartości natężenia pola elektrycznego w miejscach dostępnych dla ludności. |
| Opis zestawu pomiarowego | Miernik Narda NBM 520, Sonda EF 9091, o zakresie pomiarowym 0,7 V/m - 300V/m pracująca w paśmie 0,1 – 90 GHz, świadectwo wydane przez Laboratorium Wzorców i Metrologii Pola Elektromagnetycznego, Instytut Telekomunikacji, Teleinformatyki i Akustyki Politechniki Wrocławskiej. Świadectwo ważne do 07.07.2023. Miernik Narda NBM 520, Sonda EF 9091 pracująca w zakresie temperatury -10°C - +50°C oraz wilgotności 5% - 95%. Niepewność rozszerzona wynosi 57% przy poziomie ufności 95% z uwzględnieniem współczynnika rozszerzenia k=2. |
| Wyposażenie pomocnicze | Termohigrometr Termoprodukt, typ: Termik+, Nr. inwentarzowy 37/WL, nr identyfikacyjny 700618, świadectwo wzorcowania nr 1763/AH/19 z dn. 29.07.2019 r. wydane przez Laboratorium Pomiarowe "MUTECH". Przymiar wstęgowy STABILA, Nr. inwentarzowy 36/WL, nr identyfikacyjny 31WL, świadectwo wzorcowania nr 6W1/1826/19 z dn. 02.08.2019 r. wydane przez Dyrektora Okręgowego Urzędu Miar w Gdańsku. GPS Garmin 64s okresowo sprawdzany w punktach osnowy geodezyjnej klasy 3 na podstawie licencji punktu, zgodnie z procedurą sprawdzeń okresowych IS/PO16-11/03. |
| Pomiary zostały wykonane | <ol style="list-style-type: none">1. na głównych i pomocniczych kierunkach pomiarowych, na kierunkach zbliżonych do azymutów anten oraz w dodatkowych pionach pomiarowych zgodnie z wymaganiami pkt 12, 13, 14 i 19 Rozporządzenia Ministra Klimatu z dnia 17 lutego 2020 r. (Dz.U. 2022 poz. 2630).2. na obszarze pomiarowym, dla którego, na podstawie uprzednio przeprowadzonych obliczeń stwierdzono w miejscach dostępnych dla ludności występowanie pól elektromagnetycznych o najwyższym poziomie, które pochodzą z badanej instalacji zgodnie z wymaganiami pkt 5 ppkt 2 oraz pkt 13 ppkt 1 Rozporządzenia Ministra Klimatu z dnia 17 lutego 2020 r. w sprawie sposobów sprawdzania dotrzymania dopuszczalnych poziomów pól elektromagnetycznych w środowisku (Dz.U. 2022 poz. 2630). Wyniki obliczeń nie uwzględniały parametrów pracy instalacji innych operatorów występujących na obiekcie bądź w obszarze pomiarowym.3. w miejscach dostępnych dla ludności.4. miejsca niedostępne podczas wykonywania pomiarów wskazane zostały w pkt 6 (tabeli wyniki pomiarów) |
| Szczególne warunki podczas wykonywania pomiarów | Pomiary wykonane zostały podczas obowiązywania w kraju stanu zagrożenia epidemicznego, zgodnie z art. 122a ust. 1b Ustawy z dnia 27 kwietnia 2001 r. – Prawo ochrony środowiska (Dz. U. z 2019 r. poz. 1396, z późn. zm.9)) |
| Warunki pracy urządzeń nadawczych | Tryb pracy eksploatacyjny. |

4. Zróżnicowanie dopuszczalne poziomy pól elektromagnetycznych.

Zakresy znajdują się w Dzienniku Ustaw z dnia 17 grudnia 2019 r. przedstawione są w tabeli nr 2 (Dz. U. z 2019r. poz. 2448).

| Parametr fizyczny | Składowa elektryczna E (V/m) | Składowa magnetyczna H (A/m) | Gęstość mocy S (W/m ²) |
|---|------------------------------|------------------------------|------------------------------------|
| Zakres Częstotliwości pola elektromagnetycznego | | | |
| od 400 MHz do 2000 MHz | $1,375 \times f^{0,5}$ | $0,0037 \times f^{0,5}$ | $f / 200$ |
| od 2 GHz do 300 GHz | 61 | 0,16 | 10 |

5. Charakterystyka źródeł PEM.

Zgodnie z informacją otrzymaną od Klienta pomiary zostały wykonane przy ustawieniach pochylenia anten zgodnych z pkt. 13, ppkt 2 Rozporządzenia Ministra Klimatu z dnia 17 lutego 2020 roku.

Tabela 1. Anteny sektorowe - dane otrzymane od klienta

| Typ anteny | Współrzędne geograficzne | Azymut mechaniczny [°] | Azymut elektryczny [°] | Wysokość środka elektrycznego anten n.p.t. [m] | Pasma częstotliwości | Zakres pochylenia elektrycznego [°] | Średnie pochylenie anten (ustawione do pomiarów PEM) [°] | Kąt pochylenia mechanicznego [°] | Moc EIRP [W] | Suma EIRP [W] |
|-------------|--------------------------------|------------------------|------------------------|--|----------------------|-------------------------------------|--|----------------------------------|--------------|---------------|
| 120155 | 53°07'07.64"N 17°58'30.78"E | 10 | 10 | 30,4 | 1800 | 2-4,2 | 3,1 | 0 | 3920 | 25520 |
| | | | | | 2100 | 2-4,2 | 3,1 | 0 | 6264 | |
| | | | | | 2600 | 2-4,2 | 3,1 | 0 | 15336 | |
| 120155 | 53°07'07.64"N 17°58'30.78"E | 130 | 130 | 30,4 | 1800 | 2-2,7 | 2,35 | 0 | 3920 | 25520 |
| | | | | | 2100 | 2-2,7 | 2,35 | 0 | 6264 | |
| | | | | | 2600 | 2-2,7 | 2,35 | 0 | 15336 | |
| 120155 | 53°07'07.64"N 17°58'30.78"E | 250 | 250 | 30,4 | 1800 | 2-4,1 | 3,05 | 0 | 3920 | 25520 |
| | | | | | 2100 | 2-4,1 | 3,05 | 0 | 6264 | |
| | | | | | 2600 | 2-4,1 | 3,05 | 0 | 15336 | |
| 80010665V01 | 53°07'07.64"N 17°58'30.78"E | 10 | 10 | 30,4 | 2600 | 2-4,2 | 3,1 | 0 | 4464 | 7762 |
| | | | | | 900 | 0-4,2 | 3,1 | 0 | 3298 | |
| 80010665V01 | 53°07'07.64"N 17°58'30.78"E | 130 | 130 | 30,4 | 2600 | 2-2,7 | 2,35 | 0 | 4464 | 7762 |
| | | | | | 900 | 0-2,7 | 2,35 | 0 | 3298 | |
| 80010665V01 | 53°07'07.64"N 17°58'30.78"E | 250 | 250 | 30,4 | 2600 | 2-4,1 | 3,05 | 0 | 4464 | 7762 |
| | | | | | 900 | 0-4,1 | 3,05 | 0 | 3298 | |

Tabela 2. Anteny radioliniowe- dane otrzymane od klienta

| Typ anteny | Współrzędne geograficzne | Azymut [°] | Średnica [m] | Pasma częstotliwości [GHz] | Zysk energetyczny [dBi] | Moc wyjściowa nadajnika [dBm] | EIRP [W] | Wysokość środka elektrycznego anten n.p.t. [m] |
|------------|--------------------------------|------------|--------------|----------------------------|-------------------------|-------------------------------|----------|--|
| VHLP1-80 | 53°07'07.64"N 17°58'30.78"E | 306 | 0,3 | 80 | 43,5 | 0 | 22,39 | 40,0 |

6. Wyniki pomiarów.

Wyniki pomiarów pól elektromagnetycznych dla celów ochrony środowiska przedstawia poniższa tabela. Piony pomiarowe zostały przedstawione w zał. 2.

| Nr PP | Pole-E [V/m] | Pole-E, +U [V/m] | Pole-H [A/m] | Pole-H +U [A/m] | Wys. pomiaru [m] | Opis pionu | Uwagi | WM _E | WM _H |
|-------|--------------|------------------|--------------|-----------------|------------------|--------------------------------|---|-----------------|-----------------|
| 1 | 1,2 | 1,88 | 0,003 | 0,005 | 0,3-2,0 | N:53°07'09.3" E:17°58'30.9" | otoczenie stacji bazowej - 50m wzdłuż gł. osi promieniowania - GKP | 0,067 | 0,068 |
| 2 | 1,1 | 1,73 | 0,003 | 0,005 | 0,3-2,0 | N:53°07'10.8" E:17°58'31.5" | otoczenie stacji bazowej - 100m wzdłuż gł. osi promieniowania - GKP | 0,062 | 0,063 |
| 3 | 1,2 | 1,88 | 0,003 | 0,005 | 0,3-2,0 | N:53°07'12.4" E:17°58'31.8" | otoczenie stacji bazowej - 150m wzdłuż gł. osi promieniowania - GKP | 0,067 | 0,068 |

| | | | | | | | | | |
|----|-----|------|-------|-------|---------|--------------------------------|--|-------|-------|
| 4 | 0,9 | 1,41 | 0,002 | 0,004 | 0,3-2,0 | N:53°07'13.9" E:17°58'32.3" | otoczenie stacji bazowej - 200m wzdłuż gł. osi promieniowania - GKP | 0,050 | 0,051 |
| 5 | 0,8 | 1,26 | 0,002 | 0,003 | 0,3-2,0 | N:53°07'15.6" E:17°58'32.9" | otoczenie stacji bazowej - 250m wzdłuż gł. osi promieniowania - GKP | 0,045 | 0,046 |
| 6 | 0,8 | 1,26 | 0,002 | 0,003 | 0,3-2,0 | N:53°07'17.1" E:17°58'33.4" | otoczenie stacji bazowej - 304m wzdłuż gł. osi promieniowania - GKP | 0,045 | 0,046 |
| 7 | 1,3 | 2,04 | 0,003 | 0,005 | 0,3-2,0 | N:53°07'06.6" E:17°58'32.5" | otoczenie stacji bazowej - 50m wzdłuż gł. osi promieniowania - GKP | 0,073 | 0,074 |
| 8 | 1,1 | 1,73 | 0,003 | 0,005 | 0,3-2,0 | N:53°07'03.7" E:17°58'38.3" | otoczenie stacji bazowej - 190m wzdłuż gł. osi promieniowania - GKP | 0,062 | 0,063 |
| 9 | 0,9 | 1,41 | 0,002 | 0,004 | 0,3-2,0 | N:53°07'02.5" E:17°58'41.0" | otoczenie stacji bazowej - 250m wzdłuż gł. osi promieniowania - GKP | 0,050 | 0,051 |
| 10 | 1,0 | 1,57 | 0,003 | 0,004 | 0,3-2,0 | N:53°07'06.4" E:17°58'25.3" | otoczenie stacji bazowej - 100m wzdłuż gł. osi promieniowania - GKP | 0,056 | 0,057 |
| 11 | 0,9 | 1,41 | 0,002 | 0,004 | 0,3-2,0 | N:53°07'05.9" E:17°58'23.1" | otoczenie stacji bazowej - 150m wzdłuż gł. osi promieniowania - GKP | 0,050 | 0,051 |
| 12 | 0,8 | 1,26 | 0,002 | 0,003 | 0,3-2,0 | N:53°07'05.1" E:17°58'20.3" | otoczenie stacji bazowej - 200m wzdłuż gł. osi promieniowania - GKP | 0,045 | 0,046 |
| 13 | 0,8 | 1,26 | 0,002 | 0,003 | 0,3-2,0 | N:53°07'04.8" E:17°58'18.0" | otoczenie stacji bazowej - 250m wzdłuż gł. osi promieniowania - GKP | 0,045 | 0,046 |
| 14 | 0,8 | 1,26 | 0,002 | 0,003 | 0,3-2,0 | N:53°07'04.2" E:17°58'15.4" | otoczenie stacji bazowej - 304m wzdłuż gł. osi promieniowania - GKP | 0,045 | 0,046 |
| 15 | 1,0 | 1,57 | 0,003 | 0,004 | 0,3-2,0 | N:53°07'08.6" E:17°58'28.3" | otoczenie stacji bazowej - 50m wzdłuż gł. osi promieniowania - GKP | 0,056 | 0,057 |
| 16 | 1,0 | 1,57 | 0,003 | 0,004 | 0,3-2,0 | N:53°07'09.8" E:17°58'32.7" | otoczenie stacji bazowej - GKP | 0,056 | 0,057 |
| 17 | 1,0 | 1,57 | 0,003 | 0,004 | 0,3-2,0 | N:53°07'07.5" E:17°58'33.3" | otoczenie stacji bazowej - GKP | 0,056 | 0,057 |
| 18 | 1,0 | 1,57 | 0,003 | 0,004 | 0,3-2,0 | N:53°07'06.0" E:17°58'31.2" | otoczenie stacji bazowej - GKP | 0,056 | 0,057 |
| 19 | 0,9 | 1,41 | 0,002 | 0,004 | 0,3-2,0 | N:53°07'05.9" E:17°58'27.8" | otoczenie stacji bazowej - GKP | 0,050 | 0,051 |
| 20 | 1,1 | 1,73 | 0,003 | 0,005 | 0,3-2,0 | N:53°07'10.0" E:17°58'28.9" | otoczenie stacji bazowej - GKP | 0,062 | 0,063 |
| A | 0,9 | 1,41 | 0,002 | 0,004 | 0,3-2,0 | N:53°07'14.1" E:17°58'32.4" | 11 Dywizjonu Artylerii Konnej 24, pomiar przed budynkiem -DPP | 0,050 | 0,051 |
| B | 1,2 | 1,88 | 0,003 | 0,005 | 0,3-2,0 | N:53°07'12.7" E:17°58'31.6" | 11 Dywizjonu Artylerii Konnej 6 | 0,067 | 0,068 |
| C | 1,2 | 1,88 | 0,003 | 0,005 | 0,3-2,0 | N:53°07'08.9" E:17°58'29.4" | Abrahama 1, pomiar przed budynkiem -DPP | 0,067 | 0,068 |
| D | 0,9 | 1,41 | 0,002 | 0,004 | 0,3-2,0 | N:53°07'09.5" E:17°58'26.4" | Abrahama 2, pomiar przed budynkiem -DPP | 0,050 | 0,051 |
| E | 1,1 | 1,73 | 0,003 | 0,005 | 0,3-2,0 | N:53°07'07.3" E:17°58'28.4" | Abrahama 3, pomiar przed budynkiem -DPP | 0,062 | 0,063 |
| F | 1,0 | 1,57 | 0,003 | 0,004 | 0,3-2,0 | N:53°07'07.1" E:17°58'26.4" | Abrahama 5, pomiar przed budynkiem -DPP | 0,056 | 0,057 |
| G | 1,0 | 1,57 | 0,003 | 0,004 | 0,3-2,0 | N:53°07'06.3" E:17°58'24.6" | Abrahama 7, pomiar przed budynkiem -DPP | 0,056 | 0,057 |
| H | 0,9 | 1,41 | 0,002 | 0,004 | 0,3-2,0 | N:53°07'05.9" E:17°58'22.7" | Abrahama 9, pomiar przed budynkiem -DPP | 0,050 | 0,051 |
| I | 0,8 | 1,26 | 0,002 | 0,003 | 0,3-2,0 | N:53°07'04.9" E:17°58'19.0" | Dmowskiego 1, pomiar przed budynkiem -DPP | 0,045 | 0,046 |
| J | 0,8 | 1,26 | 0,002 | 0,003 | 0,3-2,0 | N:53°07'04.2" E:17°58'17.5" | Dmowskiego 3, pomiar przed budynkiem -DPP | 0,045 | 0,046 |
| K | 1,0 | 1,57 | 0,003 | 0,004 | 0,3-2,0 | N:53°07'07.7" E:17°58'31.3" | Szubińska 4, pomiar przed budynkiem -DPP | 0,056 | 0,057 |
| L | 1,2 | 1,88 | 0,003 | 0,005 | 0,3-2,0 | N:53°07'06.3" E:17°58'34.2" | Szubińska 39, pomiar przed posesją - DPP | 0,067 | 0,068 |
| M | 1,3 | 2,04 | 0,003 | 0,005 | 0,3-2,0 | N:53°07'05.9" E:17°58'33.0" | Szubińska 41, pomiar przed posesją - DPP | 0,073 | 0,074 |
| N | 1,1 | 1,73 | 0,003 | 0,005 | 0,3-2,0 | N:53°07'05.6" E:17°58'32.3" | Szubińska 43, pomiar przed posesją - DPP | 0,062 | 0,063 |
| O | 1,0 | 1,57 | 0,003 | 0,004 | 0,3-2,0 | N:53°07'05.5" E:17°58'31.4" | Szubińska 45, pomiar przed posesją - DPP | 0,056 | 0,057 |
| P | 0,9 | 1,41 | 0,002 | 0,004 | 0,3-2,0 | N:53°07'05.1" E:17°58'30.0" | Szubińska 47/49, pomiar przed posesją -DPP | 0,050 | 0,051 |

„Bez pisemnej zgody Laboratorium niniejsze sprawozdanie nie może być powielane inaczej, jak tylko w całości. Ponadto wyniki dotyczą tylko badanych obiektów przywołanych w niniejszym sprawozdaniu z badań”

| | | | | | | | | | |
|---|-----|------|-------|-------|---------|--------------------------------|--|-------|-------|
| R | 1,1 | 1,73 | 0,003 | 0,005 | 0,3-2,0 | N:53°07'04.8" E:17°58'28.8" | Szubińska 53/51, pomiar przed posesją -DPP | 0,062 | 0,063 |
| S | 1,1 | 1,73 | 0,003 | 0,005 | 0,3-2,0 | N:53°07'03.9" E:17°58'38.0" | Kcyńska 14, pomiar przed posesją - DPP | 0,062 | 0,063 |
| T | 1,2 | 1,88 | 0,003 | 0,005 | 0,3-2,0 | N:53°07'03.6" E:17°58'36.9" | Kcyńska 16, pomiar przed posesją - DPP | 0,067 | 0,068 |
| U | 1,1 | 1,73 | 0,003 | 0,005 | 0,3-2,0 | N:53°07'03.6" E:17°58'38.8" | Kcyńska 15/13, pomiar przed posesją -DPP | 0,062 | 0,063 |
| W | 0,9 | 1,41 | 0,002 | 0,004 | 0,3-2,0 | N:53°07'01.9" E:17°58'42.4" | Strzelecka 10, pomiar przed budynkiem -DPP | 0,050 | 0,051 |

Wynik pomiaru pole - E [V/m] - maksymalna wartość chwilowa zmierzona w danym pionie pomiarowym (uśredniona na podstawie punktu 11 załącznika do Rozporządzenia Ministra Klimatu z dnia 17 lutego 2020 r. w sprawie sposobów sprawdzania dotrzymania dopuszczalnych poziomów pól elektromagnetycznych w środowisku (Dz.U. 2022 poz. 2630)). Zgodnie z pkt. 7 załącznika do Rozporządzenia Ministra Klimatu z dnia 17 lutego 2020 r. w sprawie sposobów sprawdzania dotrzymania dopuszczalnych poziomów pól elektromagnetycznych w środowisku (Dz.U. 2020 poz. 258, Dz.U. 2022 poz. 1121) nie stosuje się poprawek pomiarowych.

Przyjęto najniższą dopuszczalną wartość składowej elektrycznej pola dla objętego pomiarami zakresu częstotliwości $\min(ME_{gr}) = 28 \text{ V/m}$ oraz składowej magnetycznej $\min(MH_{gr}) = 0,073 \text{ A/m}$.

* - wartość zmierzona poniżej zakresu akredytacji. Do obliczeń przyjęto wartość zgodną z dolną granicą akredytowanego zakresu pomiarowego metody.

GKP - główne kierunki pomiarowe

PKP - pomocnicze kierunki pomiarowe

DPP - dodatkowe punkty pomiarowe

PP - pion pomiarowy

U - niepewność pomiarowa rozszerzona, przy poziomie ufności 95%, z uwzględnieniem współczynnika rozszerzenia $k=2$

WM_E - wartość wskaźnikowa poziomu emisji pól elektromagnetycznych dla miejsc dostępnych dla ludności dla składowej elektrycznej pola

WM_H - wartość wskaźnikowa poziomu emisji pól elektromagnetycznych dla miejsc dostępnych dla ludności dla składowej magnetycznej pola

7. Stwierdzenie zgodności

Na podstawie wytycznych podanych w Rozporządzeniu Ministra Zdrowia z dnia 17 grudnia 2019 r. w sprawie dopuszczalnych poziomów pól elektromagnetycznych w środowisku (Dz.U. 2019 poz. 2448) oraz sposobów sprawdzania dotrzymania tych poziomów zgodnie z Rozporządzeniem Ministra Klimatu z dnia 17 lutego 2020 r. w sprawie sposobów sprawdzania dotrzymania dopuszczalnych poziomów pól elektromagnetycznych w środowisku (Dz.U. 2022 poz. 2630), dotyczących źródła wymagań, które muszą być spełnione, w oparciu o zasadę podejmowania decyzji zgodną z pkt. 26 Rozporządzenia Ministra Klimatu z dnia 17 lutego 2020 r. (Dz.U. 2022 poz. 2630), na podstawie wyników pomiarów pól elektromagnetycznych wykonanych w dniu 24.05.2023 stwierdzono, że wszystkie wyniki przeprowadzonych pomiarów w danym obszarze pomiarowym oraz wyznaczone na tej podstawie wskaźniki WME oraz WMH są mniejsze od wartości dopuszczalnych – zgodnie z przepisami wydanymi na podstawie art. 122 ust. 1 ustawy z dnia 27 kwietnia 2001 r. – Prawo ochrony środowiska – załącznikiem do Rozporządzenia Ministra Klimatu i Środowiska z dnia 17 lutego 2020 r. w sprawie sposobów sprawdzania dotrzymania dopuszczalnych poziomów pól elektromagnetycznych w środowisku (Dz.U. 2022 poz. 2630, pkt 26).

8. Oświadczenie.

Wyniki badania odnoszą się wyłącznie do badanego obiektu.

Bez pisemnej zgody sprawozdanie nie może być powielane inaczej, jak tylko w całości.

Uwagi i zastrzeżenia przyjmowane są w formie pisemnej.

9. Spis załączników.

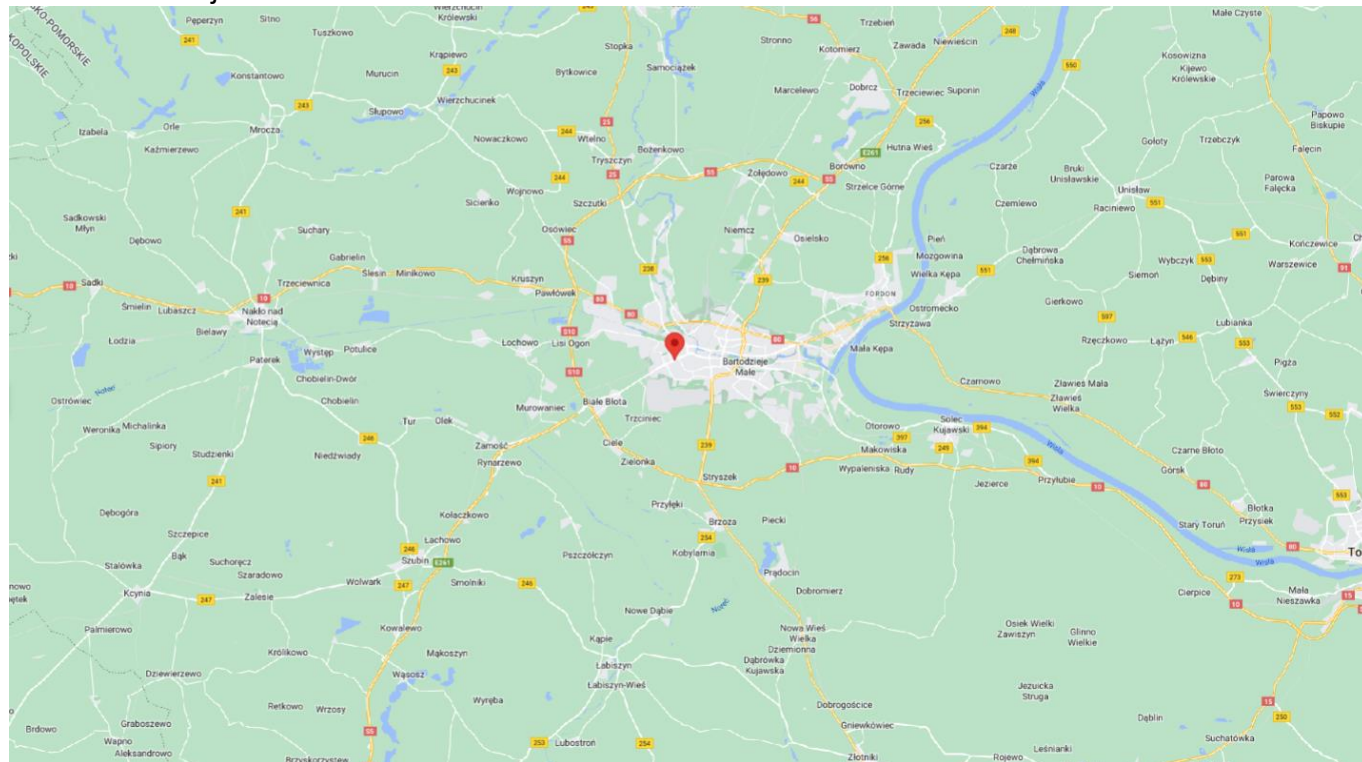
Zał. 1. Lokalizacja obiektu.

Zał. 2. Widok pionów pomiarowych

Zał. 3. Załączniki graficzne

Koniec sprawozdania

Zał. 1. Lokalizacja obiektu



Współrzędne geograficzne


długość: 17°58'30.78"E

szerokość: 53°07'07.64"N

Załącznik 2. Widok pionów pomiarowych




LEGENDA:

 brak dostępu

 pion pomiaru

 antena sektorowa

 antena radioliowa

Skala: 1:5000



Załącznik 3. Załączniki graficzne.

